



Luchtkwaliteitonderzoek

**De Grote Wielen
te Rosmalen**

projectnummer 452083
definitief
25 oktober 2019

Luchtkwaliteitonderzoek

De Grootte Wielen

te Rosmalen

projectnummer 452083

definitief revisie 02
28 oktober 2019

Auteurs

J.S. Hullegie

Opdrachtgever

Gemeente 's Hertogenbosch
Postbus 12345
5200 GZ 's-Hertogenbosch

datum vrijgave

28/10/19

beschrijving revisie 02

definitief

goedkeuring

E. van Horssen-Maas

vrijgave

M. van de Klundert

1.0.

Inhoudsopgave

Blz.

| | | |
|----------|--|-----------|
| 1 | Inleiding | 1 |
| 2 | Wettelijk kader | 2 |
| 2.1 | Grenswaarden | 2 |
| 2.2 | Regeling beoordeling luchtkwaliteit 2007 | 3 |
| 2.3 | Toepasbaarheidsbeginsel en blootstellingscriterium | 3 |
| 3 | Uitgangspunten van het onderzoek | 4 |
| 3.1 | Milieucategorieën bedrijventerrein | 4 |
| 3.2 | Verkeer behorend bij de inrichting | 6 |
| 3.3 | Rekenprogramma | 7 |
| 3.4 | Wijze van beoordeling | 7 |
| 4 | Resultaten | 8 |
| 4.1 | Stikstofdioxide (NO ₂) | 8 |
| 4.2 | Fijn stof (PM ₁₀) | 9 |
| 4.3 | Fijn stof (PM _{2,5}) | 9 |
| 4.4 | Overige luchtverontreinigende stoffen | 9 |
| 5 | Conclusie | 10 |

Bijlage 1: Invoergegevens

Bijlage 2: Beoordelingspunten

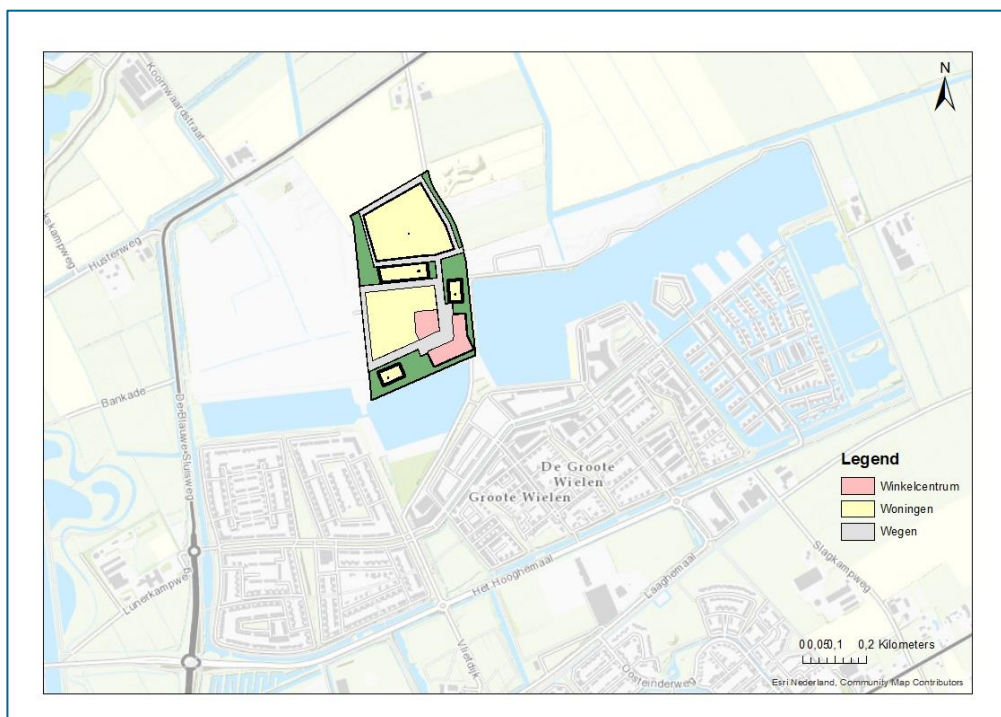
Bijlage 3: Rekenresultaten

1 Inleiding

In opdracht van de gemeente 's-Hertogenbosch heeft Antea Group dit luchtkwaliteitonderzoek uitgevoerd. Grondslag hiervoor is het voornemen om een volgende fase van de nieuwbouwwijk De Groote Wielen te Rosmalen verder te ontwikkelen. De nieuwe ontwikkeling, genaamd 'De Groote Wielen Centrum' krijgt een gemengd programma, waarin wonen dominant is. Naast de realisatie van circa 600 woningen is De Groote Wielen Centrum voorzien in kleinschalige commerciële voorzieningen zoals een klein winkelcentrum en een basisschool. Om de ontwikkeling van De Groote Wielen Centrum mogelijk te maken wordt een nieuw bestemmingsplan opgesteld. In het kader van het bestemmingsplan wordt dit luchtkwaliteitonderzoek uitgevoerd.

In dit onderzoek zijn de directe en indirecte emissie van luchtverontreinigende stoffen ten gevolge van het plan nader uitgewerkt, zijn de concentraties luchtverontreinigende stoffen in beeld gebracht en is getoetst aan de wet- en regelgeving voor luchtkwaliteit.

De beoogde ontwikkeling bevindt zich ten noordoosten van het al gerealiseerde deel van de nieuwbouwwijk. In figuur 1.1 is de beoogde ontwikkeling inclusief de directe omgeving globaal in beeld gebracht.



Figuur 1.1: Overzicht bestemmingsplan De Groote Wielen Centrum

1.1 Leeswijzer

In dit rapport wordt in hoofdstuk 2 het wettelijk kader toegelicht dat aan dit onderzoek ten grondslag ligt. Vervolgens zijn de in dit luchtkwaliteitonderzoek gehanteerde uitgangspunten in hoofdstuk 3 opgenomen, waarna de resultaten in hoofdstuk 4 zijn weergegeven. De conclusie is opgenomen in hoofdstuk 5.

2 Wettelijk kader

De belangrijkste wet- en regelgeving voor het milieuaspect luchtkwaliteit is vastgelegd in 'Titel 5.2 Luchtkwaliteitseisen' van de Wet milieubeheer (Wm). In artikel 5.16, lid 1 van de Wm is bepaald dat bestuursorganen een besluit, dat gevolgen kan hebben voor de luchtkwaliteit, kunnen nemen wanneer aannemelijk is dat aan één of meer van onderstaande grondslagen wordt voldaan:

- Er wordt voldaan aan de in bijlage 2 van de Wm opgenomen grenswaarden;
- Het besluit leidt (per saldo) niet tot een verslechtering van de luchtkwaliteit;
- Het besluit draagt 'niet in betekenende mate' bij aan de jaargemiddelde concentraties stikstofdioxide (NO₂) en fijn stof (PM₁₀);
- Het project is opgenomen in het Nationaal Samenwerkingsprogramma Luchtkwaliteit (ook wel NSL genoemd).

Specifieke uitvoeringsregels zijn vastgelegd in besluiten (AMvB's) en ministeriële regelingen. Het gaat daarbij onder meer om het Besluit en de Regeling niet in betekenende mate bijdragen, de Regeling beoordeling luchtkwaliteit 2007 en het Besluit gevoelige bestemmingen.

2.1 Grenswaarden

In samenhang met Titel 5.2 zijn de (Europese) grenswaarden voor de concentraties van luchtverontreinigende stoffen in de buitenlucht vastgelegd in bijlage 2 van de Wet milieubeheer. Deze grenswaarden zijn gericht op de bescherming van de gezondheid van mensen. In onderstaande tabel zijn de grenswaarden weergegeven.

Tabel 2.1: Vastgestelde grenswaarden (concentraties in µg/m³)

| Stof | Soort | Concentratie | Aantal overschrijdingen |
|--|-------------------|--------------|-------------------------|
| Fijn stof (PM ₁₀) | jaargemiddelde | 40 | - |
| | 24-uursgemiddelde | 50 | 35 |
| Fijn stof (PM _{2,5}) | jaargemiddelde | 25 | - |
| | jaargemiddelde | 40 | - |
| Stikstofdioxide (NO ₂) | uurgemiddelde* | 200 | 18 |
| | 8-uursgemiddelde | 10.000 | - |
| Koolmonoxide (CO) | jaargemiddelde | 0,5 | - |
| Lood (Pb) | 24-uursgemiddelde | 125 | 3 |
| | uurgemiddelde | 350 | 24 |
| Benzeen (C ₆ H ₆) | jaargemiddelde | 5 | - |

* grenswaarde van toepassing bij wegen waarvan ten minste 40.000 motorvoertuigen per etmaal gebruik maken

Voor de beoordeling van de luchtkwaliteit zijn de concentraties stikstofdioxide (NO₂) en fijn stof (PM₁₀) maatgevend. Voor deze stoffen is de kans het grootst dat de bijbehorende grenswaarden worden overschreden. Overschrijding van de grenswaarde voor de uurgemiddelde concentratie NO₂ (200 µg/m³) is, in relatie tot wegverkeer, redelijkerwijs uitgesloten. Dergelijke hoge concentraties doen zich niet voor langs wegen en uit metingen over een periode van 10 jaar blijkt dat overschrijding van de uurnorm voor NO₂ niet meer aan de orde is¹.

Net als voor de jaargemiddelde concentratie PM₁₀ is voor de jaargemiddelde concentratie PM_{2,5} ook een grenswaarde vastgesteld (25 µg/m³). PM_{2,5} is een deelverzameling van PM₁₀ en de

¹ Ministerie van Infrastructuur en Milieu, Handreiking rekenen aan luchtkwaliteit (actualisatie 2011), juni 2011

PM₁₀- en PM_{2,5}-concentraties zijn dan ook sterk aan elkaar gerelateerd. Uitgaande van de huidige kennis over emissies en concentraties van PM_{2,5} en PM₁₀ kan worden gesteld dat, als aan de grenswaarden voor PM₁₀ wordt voldaan, ook aan de grenswaarden voor PM_{2,5} zal worden voldaan².

Overige luchtverontreinigende stoffen

Voor de overige luchtverontreinigende stoffen, waarvoor grens- of richtwaarden zijn opgenomen in de Wm³, zijn de laatste jaren nergens in Nederland overschrijdingen opgetreden van deze waarden en de concentraties vertonen een dalende trend⁴. Dit beeld wordt bevestigd door metingen van het Landelijk Meetnet Luchtkwaliteit van het RIVM⁵. Het is dan ook aannemelijk dat een overschrijding van de voor deze (overige) stoffen vastgestelde grens- en richtwaarden, als gevolg van een besluit, redelijkerwijs kan worden uitgesloten.

2.2 Regeling beoordeling luchtkwaliteit 2007

De Regeling beoordeling luchtkwaliteit 2007 bevat voorschriften voor het meten en berekenen van de concentraties luchtverontreinigende stoffen. Er is onder andere voorgeschreven waar en hoe de luchtkwaliteit vastgesteld dient te worden en er zijn enkele standaardrekenmethoden voorgeschreven. Daarnaast is benoemd dat voor berekeningen gebruik gemaakt dient te worden van de generieke invoergegevens die jaarlijks worden vastgesteld door het ministerie van Infrastructuur en Milieu. Tot deze gegevens behoren onder andere de emissiefactoren voor het wegverkeer, de grootschalige achtergrondconcentraties en meteorologische gegevens.

2.3 Toepasbaarheidsbeginsel en blootstellingscriterium

In artikel 5.19, lid 2 van de Wm is vastgelegd op welke plaatsen geen beoordeling van de luchtkwaliteit plaats hoeft te vinden. Dit zogenaamde toepasbaarheidsbeginsel beschrijft dat de luchtkwaliteit niet beoordeeld hoeft te worden op onder andere locaties die zich bevinden in gebieden waartoe leden van het publiek geen toegang hebben en waar geen vaste bewoning is. Dit geldt ook voor terreinen waarop één of meer inrichtingen zijn gelegen en de rijbaan van wegen.

Op locaties waar de luchtkwaliteit wel beoordeeld moet worden, wordt deze beoordeeld op plaatsen waar significante blootstelling van mensen plaatsvindt. Hierbij wordt gekeken naar het zogenaamde blootstellingscriterium, zoals dat is opgenomen in artikel 22 van de Regeling beoordeling luchtkwaliteit 2007. Het gaat om blootstelling gedurende een periode die, in vergelijking met de middelingstijd van de grenswaarde (jaar, etmaal, uur), significant is. Dit betekent bijvoorbeeld dat op een plaats waar een burger langdurig wordt blootgesteld (onder meer bij woningen) getoetst moet worden aan de jaargemiddelde grenswaarden.

² Velders, G.J.M. et al, Grootschalige concentratie- en depositiekaarten Nederland (rapportage 2016), RIVM-rapport 2016-0068, Bilthoven, Rijksinstituut voor Volksgezondheid en Milieu (RIVM) en Grootschalige concentratie- en depositiekaarten Nederland (rapportage 2017), RIVM-briefrapport 2017-0117, Bilthoven, RIVM

³ Grenswaarden voor zwaveldioxide, lood, koolmonoxide en benzeen en richtwaarden voor ozon, arseen, cadmium, nikkel en benzo(a)pyreen

⁴ CBS, PBL en Wageningen UR, Compendium voor de Leefomgeving (<http://www.clo.nl/onderwerpen/luchtkwaliteit>)

⁵ Mooiboek, D. et al, Jaaroverzicht luchtkwaliteit 2012, RIVM-rapport 680704023/2013, Bilthoven, RIVM, sept. 2013

3 Uitgangspunten van het onderzoek

De berekeningen zijn uitgevoerd voor de beoordelingsjaren 2020 en 2030. Het jaar 2020 is het verwachte jaar van besluitvorming en daarmee het jaar waarin de eerste effecten van het plan kunnen optreden. Het jaar 2030 is het jaar waarin het plan volledig ontwikkeld is. Voor beide jaren is de volledige plansituatie gemodelleerd en doorgerekend. Omdat de volledige planontwikkeling is doorgerekend voor het jaar 2020 en de luchtkwaliteit in Nederland volgens de prognoses steeds beter wordt (schoner worden van het autoverkeer en reductie van bedrijfsemissies door maatregelen bij bedrijven), is er sprake van een worst-case-beoordeling. De gehele ontwikkeling zal immers in de loop der jaren plaatsvinden.

Woningen en commerciële functies hebben zowel een directe als een indirecte invloed op de luchtkwaliteit in het plangebied en haar omgeving. De directe invloed wordt veroorzaakt als gevolg van de emissies van stookinstallaties (bijvoorbeeld verwarming). De indirecte invloed wordt veroorzaakt door de verkeersaantrekkende werking van de woningen/commerciële functies die van invloed is op het totaal aantal motorvoertuigbewegingen op de omliggende wegen (zowel personenvervoer als bijvoorbeeld de aan- en afvoer van goederen).

3.1 Directe effecten

Het voorgenomen plan zal zijn voorzien in de volgende functies:

- 600 woningen
- Eén basisschool met bijbehorende BSO/KDV en gymzaal
- Winkelcentrum van 8000 m² BVO

Er is van uitgaan dat de woningen, de basisschool en het winkelcentrum gasloos zullen zijn. Om deze reden wordt de stikstofdioxide emissie als gevolg van deze functies als verwaarloosbaar beschouwd en niet meegenomen in de berekening.

3.2 Indirecte effecten

De ontwikkeling van nieuwe woningen/functies zorgt voor een toename van het gemotoriseerde verkeer op de wegen in de omgeving. Dit verkeer zorgt wel voor extra emissies van NO_x en PM₁₀ en PM_{2.5}.

Het verkeersmodel waarin de verkeersintensiteiten en rijsnelheden zijn opgenomen is aangeleverd door de gemeente 's-Hertogenbosch voor het jaar 2030. Hiervoor is gebruik gemaakt van het uitsnedemodel (GW2018) van de gemeente 's-Hertogenbosch. Dit uitsnedemodel is gebaseerd op het regionale verkeersmodel 's-Hertogenbosch 2014 zoals in 2014 is opgeleverd in het kader van de BrabantBrede Model Aanpak 2014 (BBMA 2014). Daarnaast zijn de verkeersintensiteiten voor enkele binnenplanse nieuwe wegen in overleg met de verkeersplanoloog van de gemeente 's-Hertogenbosch tot stand gekomen. In dit model is de invloed van het plan op de verkeergeneratie berekend voor alle wegen in het plangebied en alle wegen in de woonwijk er omheen. In onderstaande figuur zijn de wegen weergegeven die meegenomen zijn in de berekening.



Figuur 3.1 Wegen die zijn meegenomen in de berekening

Naast de verkeersgegevens dienen voor het toetsen aan de grenswaarden nog enkele andere gegevens te worden ingevoerd. Tot deze gegevens behoren onder meer weg- en omgevingskenmerken als snelheid en de mate van bebouwing.

In de berekeningen is voor alle wegvakken die vallen binnen het toepassingsbereik van standaardrekenmethode 1 (SRM1)⁶ gerekend met het wegtype 'Canyon'. Voor deze wegvakken is de (kortste) afstand tot de naastgelegen bebouwing ingevoerd, alsmede de hoogte van deze bebouwing en de zogenaamde bomenfactor.

Voor alle in het onderzoek betrokken wegvakken die vallen binnen het toepassingsbereik van SRM2 (standaardrekenmethode 2) is gerekend met het wegtype 'Normaal' of 'Snelweg'.

Voor alle wegen waarvoor uitgegaan is van het wegtype 'Canyon' is gerekend met de gemiddelde rijsnelheid op deze weg. Deze gemiddelde rijsnelheid komt overeen met de snelheidstypen (normaal stadsverkeer, doorstromend stadsverkeer, etc.) zoals die jaarlijks door het ministerie van Infrastructuur en Waterstaat geactualiseerd en vastgesteld worden voor binnenstedelijke wegen (SRM1-wegen). Voor alle wegen die vallen binnen het toepassingsbereik van SRM2 is de daar geldende maximumsnelheid als uitgangspunt genomen.

Alle verkeersgegevens en weg- en omgevingskenmerken zijn opgenomen in bijlage 1 van dit rapport.

3.3 Rekenprogramma

De berekeningen van de concentraties luchtverontreinigende stoffen in de lucht zijn uitgevoerd met de module STACKS in het programma Geomilieu (versie 4.50). Het rekengedeelte van dit programma is STACKS+, een door het ministerie van Infrastructuur en Waterstaat gevalideerd rekenprogramma. In dit programma kunnen zowel wegen als (industriële) puntbronnen worden doorgerekend in één gecombineerde berekening.

⁶ In de Regeling beoordeling luchtkwaliteit 2007 worden voor wegen twee standaardrekenmethoden onderscheiden. Voor wegen in een bebouwde omgeving moet gerekend worden conform SRM1, voor wegen in niet bebouwde omgeving en/of wegen die verhoogd liggen wordt gerekend conform SRM2.

Naast de eerder in dit hoofdstuk beschreven uitgangspunten moet ook een aantal (algemene) rekeninstellingen worden ingevoerd. De in dit onderzoek gehanteerde rekeninstellingen zijn in onderstaande tabel weergegeven.

Tabel 3.2: Gehanteerde rekeninstellingen Geomilieu

| Parameter | Gehanteerde invoer |
|--------------------------|---|
| Rekenjaar | 2020 en 2030 |
| GCN referentiepunt | Mid bronnen |
| Rekenperiode | 1995 – 2004 |
| Weekendverkeersverdeling | 1 (weekdaggemiddelden) |
| Zeezoutcorrectie | Nee, 0 µg/m ³ |
| Ruwheidslengte | 0,50 m (op basis van bronnen/modelgebied) |

3.4 Wijze van beoordeling

Voor de beoordeling van de luchtkwaliteit is, overeenkomstig artikel 74 van de Regeling beoordeling luchtkwaliteit 2007, vanaf de inrichtingsgrens beoordeeld of voldaan wordt aan de grenswaarden. Daarbij hoeft de luchtkwaliteit op het (niet voor het publiek toegankelijke) terrein van een inrichting of op het terrein van aangesloten bedrijven niet te worden beoordeeld. Op een dergelijke locatie geldt geen beoordelingsplicht (hier gelden de ARBO-regels).

De concentraties luchtverontreinigende stoffen zijn in beeld gebracht op de locaties in de directe omgeving van de ontwikkeling waar sprake is van langdurige blootstelling. Het gaat daarbij om de locaties waar sprake is van blootstelling gedurende de middelingstijd van een etmaal en/of een jaar. Een overzicht van alle gehanteerde beoordelingspunten is opgenomen in bijlage 2 van dit rapport.

Op deze beoordelingslocaties wordt getoetst of voor beide rekenjaren wordt voldaan aan de grenswaarden.

4 Resultaten

In dit hoofdstuk zijn de berekende jaargemiddelde concentraties stikstofdioxide (NO₂) en fijn stof (PM₁₀ en PM_{2,5}) weergegeven en beoordeeld. Alle berekeningsresultaten zijn opgenomen in bijlage 3. Voor een beoordeling van de overige luchtverontreinigende stoffen waarvoor in de Wet milieubeheer grenswaarden zijn opgenomen wordt verwezen naar hoofdstuk 2. Hierbij kan tevens worden opgemerkt dat de verwachting is dat de ontwikkeling geen relevante bijdrage heeft aan de concentraties van de betreffende stoffen.

4.1 Stikstofdioxide (NO₂)

In tabel 4.1 zijn de berekende jaargemiddelde concentraties NO₂ voor het rekenjaar 2020 en 2030 weergegeven.

Tabel 4.1: Hoogst berekende jaargemiddelde concentraties NO₂ in µg/m³ in 2020 en 2030

| Rekenpunt | Jaargemiddelde concentratie 2020 [µg/m ³] | Jaargemiddelde concentratie 2030 [µg/m ³] |
|-----------|--|--|
| 1 | 17,2 | 11,4 |
| 2 | 17,4 | 11,5 |
| 28 | 16,9 | 11,2 |
| 39 | 16,9 | 11,2 |
| 40 | 16,8 | 11,2 |

Uit de tabel blijkt dat de berekende jaargemiddelde concentraties NO₂ onder de grenswaarde voor de jaargemiddelde concentratie liggen (40 µg/m³) voor beide rekenjaren.

De berekende uurgemiddelde concentratie NO₂ mag niet meer dan 18 keer per jaar groter zijn dan 200 µg/m³. Uit de berekeningen blijkt dat de uurgemiddelde concentratie NO₂ op alle beoordelingspunten minder dan 18 keer per jaar groter is dan 200 µg/m³.

4.2 Fijn stof (PM₁₀)

In tabel 4.2 zijn de berekende jaargemiddelde concentraties PM₁₀ voor het rekenjaar 2020 en 2030 weergegeven.

Tabel 4.2: Hoogst berekende jaargemiddelde concentraties PM₁₀ in µg/m³ in 2020 en 2030

| Rekenpunt | Jaargemiddelde concentratie 2020 [µg/m ³] | Jaargemiddelde concentratie 2030 [µg/m ³] |
|-----------|--|--|
| 1 | 19,1 | 15,9 |
| 2 | 19,2 | 16,0 |
| 28 | 19,1 | 15,9 |
| 39 | 19,1 | 15,9 |
| 40 | 19,1 | 15,8 |

Uit de tabel blijkt dat de berekende jaargemiddelde concentraties PM₁₀ onder de grenswaarde voor de jaargemiddelde concentratie liggen (40 µg/m³) voor beide rekenjaren.

De berekende 24-uursgemiddelde concentratie PM₁₀ mag niet meer dan 35 keer per jaar groter zijn dan 50 µg/m³. Uit de berekeningen blijkt dat de 24-uursgemiddelde concentratie PM₁₀ op alle beoordelingspunten minder dan 35 keer per jaar groter is dan 50 µg/m³.

4.3 Fijn stof (PM_{2,5})

De berekende jaargemiddelde concentraties PM_{2,5} op de beoordelingspunten voor de rekenjaren 2020 en 2030 zijn opgenomen in tabel 4.3.

Tabel 4.3: Hoogst berekende jaargemiddelde concentraties PM_{2,5} in µg/m³ in 2020 en 2030

| Rekenpunt | Jaargemiddelde concentratie 2020 [µg/m ³] | Jaargemiddelde concentratie 2030 [µg/m ³] |
|-----------|--|--|
| 1 | 11,9 | 9,2 |
| 2 | 11,9 | 9,2 |
| 28 | 11,8 | 9,1 |
| 39 | 11,8 | 9,1 |
| 40 | 11,8 | 9,1 |

Uit tabel 4.3 blijkt dat de berekende jaargemiddelde concentraties PM_{2,5} onder de grenswaarde voor de jaargemiddelde concentratie PM_{2,5} (25 µg/m³) liggen voor beide rekenjaren.

4.4 Overige luchtverontreinigende stoffen

Voor een beoordeling van de overige luchtverontreinigende stoffen waarvoor in de Wet milieubeheer grenswaarden zijn opgenomen kan worden opgemerkt dat aannemelijk is dat de grenswaarden voor die stoffen niet worden overschreden (zie ook hoofdstuk 2). Hierbij kan eveneens worden opgemerkt dat verwacht wordt dat de beoogde bedrijfsactiviteiten binnen het plangebied en de overige met de ontwikkeling samenhangende emissies (verkeer) geen relevante bijdrage leveren aan de concentraties van deze overige luchtverontreinigende stoffen.

5 Conclusie

In het kader van een bestemmingsplanprocedure “De Grootte Wielen Centrum” is een luchtkwaliteitonderzoek uitgevoerd. Hierbij is rekening gehouden met alle met de ontwikkeling samenhangende activiteiten die leiden tot een emissie van luchtverontreinigende stoffen zoals opgenomen in bijlage 2 van in de Wet milieubeheer. De concentraties van deze luchtverontreinigende stoffen zijn uitgerekend en getoetst ter plaatse van de relevante beoordelingslocaties in de directe omgeving.

Op basis van het uitgevoerde luchtkwaliteitonderzoek kan worden geconcludeerd dat op alle beoordelingspunten wordt voldaan aan de op het betreffende punt te toetsen grenswaarden. Titel 5.2 van de Wet milieubeheer vormt dan ook geen belemmering voor verdere besluitvorming (artikel 5.16, lid 1 onder a Wm). Hiermee kan gesteld worden dat er sprake is van een ‘goede ruimtelijke ordening’.

Bijlagen

Bijlage 1: Invoergegevens

Invoergegevens wegen

Model: Variant 1
 Groep: (hoofdgroep)
 Lijst van Wegen, voor rekenmethode Luchtkwaliteit - STACKS

| Naam | Wegtype | V | Breedte | Vent.F | Can. H(L) | Can. H(R) | Can. br | Fboom | Totaal aantal | %Int(D) | %Int(A) | %Int(N) | %LV(D) | %LV(A) | %LV(N) | %MV(D) | %MV(A) | %MV(N) | %ZV(D) |
|-------|---------|----|---------|--------|-----------|-----------|---------|-------|---------------|---------|---------|---------|--------|--------|--------|--------|--------|--------|--------|
| Plein | Normaal | 50 | 5,00 | 0,00 | -- | -- | 0,00 | 1.00 | 0,00 | -- | -- | -- | -- | 100,00 | 100,00 | -- | -- | -- | -- |
| Plein | Normaal | 50 | 5,00 | 0,00 | -- | -- | 0,00 | 1.00 | 5889,14 | 6,86 | 2,71 | 0,86 | -- | 87,42 | 89,62 | -- | 7,02 | 5,15 | 3,17 |
| Plein | Normaal | 50 | 5,00 | 0,00 | -- | -- | 0,00 | 1.00 | 619,95 | 7,10 | 2,70 | 0,50 | -- | 99,27 | 98,90 | -- | 0,36 | 0,46 | 0,31 |
| Plein | Normaal | 50 | 5,00 | 0,00 | -- | -- | 0,00 | 1.00 | 197,30 | 7,10 | 2,70 | 0,51 | -- | 98,08 | 97,06 | -- | 0,74 | 0,95 | 0,98 |
| Plein | Normaal | 50 | 5,00 | 0,00 | -- | -- | 0,00 | 1.00 | 0,00 | -- | -- | -- | -- | 100,00 | 100,00 | -- | -- | -- | -- |
| Plein | Normaal | 50 | 5,00 | 0,00 | -- | -- | 0,00 | 1.00 | 5889,14 | 6,86 | 2,71 | 0,86 | -- | 87,42 | 89,62 | -- | 7,02 | 5,15 | 3,17 |
| Plein | Normaal | 50 | 5,00 | 0,00 | -- | -- | 0,00 | 1.00 | 619,95 | 7,10 | 2,70 | 0,50 | -- | 99,27 | 98,90 | -- | 0,36 | 0,46 | 0,31 |
| Plein | Normaal | 50 | 5,00 | 0,00 | -- | -- | 0,00 | 1.00 | 0,00 | -- | -- | -- | -- | 100,00 | 100,00 | -- | -- | -- | -- |
| Plein | Canyon | 50 | 5,00 | 0,00 | 10,00 | 10,00 | 40,00 | 1.00 | 386,94 | 7,10 | 2,70 | 0,50 | -- | 100,00 | 99,99 | -- | -- | -- | -- |
| Plein | Normaal | 50 | 5,00 | 0,00 | -- | -- | 0,00 | 1.00 | 17056,33 | 6,88 | 2,65 | 0,86 | -- | 94,56 | 95,54 | -- | 3,17 | 2,29 | 1,21 |
| Plein | Normaal | 50 | 5,00 | 0,00 | -- | -- | 0,00 | 1.00 | 6064,64 | 6,78 | 2,85 | 0,90 | -- | 90,10 | 91,61 | -- | 5,38 | 4,01 | 3,11 |
| Plein | Normaal | 50 | 5,00 | 0,00 | -- | -- | 0,00 | 1.00 | 6064,64 | 6,78 | 2,85 | 0,90 | -- | 90,10 | 91,61 | -- | 5,38 | 4,01 | 3,11 |
| Plein | Normaal | 50 | 5,00 | 0,00 | -- | -- | 0,00 | 1.00 | 6064,64 | 6,78 | 2,85 | 0,90 | -- | 90,10 | 91,61 | -- | 5,38 | 4,01 | 3,11 |
| Plein | Normaal | 50 | 5,00 | 0,00 | -- | -- | 0,00 | 1.00 | 6373,12 | 6,78 | 2,85 | 0,90 | -- | 90,45 | 91,92 | -- | 5,18 | 3,85 | 3,01 |
| Plein | Canyon | 50 | 5,00 | 0,00 | 10,00 | 10,00 | 40,00 | 1.00 | 917,88 | 7,10 | 2,70 | 0,50 | -- | 98,82 | 98,21 | -- | 0,54 | 0,70 | 0,54 |
| Plein | Canyon | 50 | 5,00 | 0,00 | 10,00 | 10,00 | 40,00 | 1.00 | 4374,04 | 7,10 | 2,70 | 0,50 | -- | 98,81 | 98,24 | -- | 0,66 | 0,85 | 0,45 |
| Plein | Canyon | 50 | 5,00 | 0,00 | 10,00 | 10,00 | 40,00 | 1.00 | 3498,42 | 7,10 | 2,70 | 0,50 | -- | 98,26 | 97,32 | -- | 0,67 | 0,85 | 0,90 |
| Plein | Canyon | 50 | 5,00 | 0,00 | 10,00 | 10,00 | 40,00 | 1.00 | 917,88 | 7,10 | 2,70 | 0,50 | -- | 98,82 | 98,21 | -- | 0,54 | 0,70 | 0,54 |
| Plein | Normaal | 50 | 5,00 | 0,00 | -- | -- | 0,00 | 1.00 | 4167,22 | 6,89 | 2,92 | 0,70 | -- | 92,80 | 93,43 | -- | 4,03 | 3,27 | 2,45 |
| Plein | Normaal | 50 | 5,00 | 0,00 | -- | -- | 0,00 | 1.00 | 4167,22 | 6,89 | 2,92 | 0,70 | -- | 92,80 | 93,43 | -- | 4,03 | 3,27 | 2,45 |
| Plein | Normaal | 50 | 5,00 | 0,00 | -- | -- | 0,00 | 1.00 | 4167,22 | 6,89 | 2,92 | 0,70 | -- | 92,80 | 93,43 | -- | 4,03 | 3,27 | 2,45 |
| Plein | Normaal | 50 | 5,00 | 0,00 | -- | -- | 0,00 | 1.00 | 5076,82 | 7,09 | 2,70 | 0,51 | -- | 94,76 | 92,29 | -- | 2,54 | 3,20 | 2,27 |
| Plein | Normaal | 50 | 5,00 | 0,00 | -- | -- | 0,00 | 1.00 | 4167,22 | 6,89 | 2,92 | 0,70 | -- | 92,80 | 93,43 | -- | 4,03 | 3,27 | 2,45 |
| Plein | Normaal | 50 | 5,00 | 0,00 | -- | -- | 0,00 | 1.00 | 3695,81 | 6,90 | 2,90 | 0,70 | -- | 98,10 | 98,29 | -- | 1,10 | 0,88 | 0,62 |
| Plein | Normaal | 50 | 5,00 | 0,00 | -- | -- | 0,00 | 1.00 | 3695,81 | 6,90 | 2,90 | 0,70 | -- | 98,10 | 98,29 | -- | 1,10 | 0,88 | 0,62 |
| Plein | Canyon | 50 | 5,00 | 0,00 | 10,00 | 10,00 | 40,00 | 1.00 | 386,94 | 7,10 | 2,70 | 0,50 | -- | 100,00 | 99,99 | -- | -- | -- | -- |
| Plein | Normaal | 50 | 5,00 | 0,00 | -- | -- | 0,00 | 1.00 | 3695,81 | 7,10 | 2,70 | 0,50 | -- | 98,32 | 97,54 | -- | 0,96 | 1,23 | 0,61 |
| Plein | Normaal | 50 | 5,00 | 0,00 | -- | -- | 0,00 | 1.00 | 3695,81 | 7,10 | 2,70 | 0,50 | -- | 98,32 | 97,54 | -- | 0,96 | 1,23 | 0,61 |
| Plein | Canyon | 50 | 5,00 | 0,00 | 30,00 | -- | 40,00 | 1.00 | 6356,58 | 7,09 | 2,70 | 0,51 | -- | 96,51 | 94,85 | -- | 1,79 | 2,27 | 1,43 |
| Plein | Canyon | 50 | 5,00 | 0,00 | -- | 10,00 | 40,00 | 1.00 | 6356,58 | 7,09 | 2,70 | 0,51 | -- | 96,51 | 94,85 | -- | 1,79 | 2,27 | 1,43 |
| Plein | Canyon | 50 | 5,00 | 0,00 | 10,00 | 10,00 | 40,00 | 1.00 | 1068,38 | 7,10 | 2,70 | 0,50 | -- | 99,69 | 99,55 | -- | 0,18 | 0,24 | 0,11 |
| Plein | Canyon | 50 | 5,00 | 0,00 | 10,00 | 10,00 | 40,00 | 1.00 | 4352,96 | 6,90 | 2,91 | 0,70 | -- | 97,93 | 98,12 | -- | 1,16 | 0,93 | 0,70 |
| Plein | Canyon | 50 | 5,00 | 0,00 | 10,00 | 10,00 | 40,00 | 1.00 | 4352,96 | 6,90 | 2,91 | 0,70 | -- | 97,93 | 98,12 | -- | 1,16 | 0,93 | 0,70 |
| Plein | Canyon | 50 | 5,00 | 0,00 | 10,00 | 10,00 | 40,00 | 1.00 | 386,94 | 7,10 | 2,70 | 0,50 | -- | 100,00 | 99,99 | -- | -- | -- | -- |

Invoergegevens wegen

Antea Group

Model: Variant 1
 Groep: (hoofdgroep)
 Lijst van Wegen, voor rekenmethode Luchtkwaliteit - STACKS

| Naam | %ZV(A) | %ZV(N) |
|-------|--------|--------|
| Plein | -- | -- |
| Plein | 5,56 | 5,23 |
| Plein | 0,37 | 0,64 |
| Plein | 1,17 | 1,99 |
| Plein | -- | -- |
| Plein | 5,56 | 5,23 |
| Plein | 0,37 | 0,64 |
| Plein | -- | -- |
| Plein | -- | 0,01 |
| Plein | 2,27 | 2,18 |
| Plein | 4,52 | 4,38 |
| Plein | 4,52 | 4,38 |
| Plein | 4,52 | 4,38 |
| Plein | 4,37 | 4,23 |
| Plein | 0,64 | 1,09 |
| Plein | 0,53 | 0,91 |
| Plein | 1,07 | 1,82 |
| Plein | 0,64 | 1,09 |
| Plein | 3,17 | 3,30 |
| Plein | 3,17 | 3,30 |
| Plein | 3,17 | 3,30 |
| Plein | 2,70 | 4,51 |
| Plein | 3,17 | 3,30 |
| Plein | 0,80 | 0,83 |
| Plein | 0,80 | 0,83 |
| Plein | -- | 0,01 |
| Plein | 0,73 | 1,24 |
| Plein | 0,73 | 1,24 |
| Plein | 1,71 | 2,88 |
| Plein | 1,71 | 2,88 |
| Plein | 0,13 | 0,22 |
| Plein | 0,91 | 0,95 |
| Plein | 0,91 | 0,95 |
| Plein | -- | 0,01 |

Invoergegevens wegen

Model: Variant 1
 Groep: (hoofdgroep)
 Lijst van Wegen, voor rekenmethode Luchtkwaliteit - STACKS

| Naam | Wegtype | V | Breedte | Vent.F | Can. H(L) | Can. H(R) | Can. br | Fboom | Totaal aantal | %Int(D) | %Int(A) | %Int(N) | %LV(D) | %LV(A) | %LV(N) | %MV(D) | %MV(A) | %MV(N) | %ZV(D) |
|-------|---------|----|---------|--------|-----------|-----------|---------|-------|---------------|---------|---------|---------|--------|--------|--------|--------|--------|--------|--------|
| Plein | Canyon | 50 | 5,00 | 0,00 | 10,00 | 10,00 | 40,00 | 1.00 | 4836,86 | 7,10 | 2,70 | 0,50 | -- | 98,37 | 97,59 | -- | 0,88 | 1,13 | 0,63 |
| Plein | Normaal | 50 | 5,00 | 0,00 | -- | -- | 0,00 | 1.00 | 0,00 | -- | -- | -- | -- | 100,00 | 100,00 | -- | -- | -- | -- |
| Plein | Normaal | 50 | 5,00 | 0,00 | -- | -- | 0,00 | 1.00 | 0,00 | -- | -- | -- | -- | 100,00 | 100,00 | -- | -- | -- | -- |
| Plein | Normaal | 50 | 5,00 | 0,00 | -- | -- | 0,00 | 1.00 | 1245,45 | 6,90 | 2,90 | 0,70 | -- | 98,75 | 98,94 | -- | 1,00 | 0,81 | 0,19 |
| Plein | Normaal | 50 | 5,00 | 0,00 | -- | -- | 0,00 | 1.00 | 1100,30 | 6,90 | 2,90 | 0,70 | -- | 99,24 | 99,33 | -- | 0,48 | 0,39 | 0,21 |
| | Canyon | 50 | 5,00 | 0,00 | 10,00 | -- | 40,00 | 1.00 | 3498,42 | 7,10 | 2,70 | 0,50 | -- | 98,26 | 97,32 | -- | 0,67 | 0,85 | 0,90 |
| Plein | Canyon | 50 | 5,00 | 0,00 | 10,00 | 10,00 | 40,00 | 1.00 | 3717,08 | 7,09 | 2,70 | 0,51 | -- | 95,77 | 93,88 | -- | 2,37 | 3,00 | 1,56 |
| Plein | Normaal | 50 | 5,00 | 0,00 | -- | -- | 0,00 | 1.00 | 3717,08 | 7,09 | 2,70 | 0,51 | -- | 95,77 | 93,88 | -- | 2,37 | 3,00 | 1,56 |
| Plein | Normaal | 50 | 5,00 | 0,00 | -- | -- | 0,00 | 1.00 | 6642,54 | 6,90 | 2,91 | 0,70 | -- | 97,71 | 97,93 | -- | 1,29 | 1,04 | 0,77 |
| Plein | Normaal | 50 | 5,00 | 0,00 | -- | -- | 0,00 | 1.00 | 6642,54 | 6,90 | 2,91 | 0,70 | -- | 97,71 | 97,93 | -- | 1,29 | 1,04 | 0,77 |
| Plein | Canyon | 50 | 5,00 | 0,00 | 10,00 | 10,00 | 40,00 | 1.00 | 1068,38 | 7,10 | 2,70 | 0,50 | -- | 99,69 | 99,55 | -- | 0,18 | 0,24 | 0,11 |
| Plein | Canyon | 50 | 5,00 | 0,00 | 10,00 | 10,00 | 40,00 | 1.00 | 1068,38 | 7,10 | 2,70 | 0,50 | -- | 99,69 | 99,55 | -- | 0,18 | 0,24 | 0,11 |
| Plein | Normaal | 50 | 5,00 | 0,00 | -- | -- | 0,00 | 1.00 | 13162,08 | 6,79 | 2,83 | 0,90 | -- | 94,60 | 95,52 | -- | 3,16 | 2,34 | 1,52 |
| Plein | Normaal | 50 | 5,00 | 0,00 | -- | -- | 0,00 | 1.00 | 6064,64 | 6,78 | 2,85 | 0,90 | -- | 90,10 | 91,61 | -- | 5,38 | 4,01 | 3,11 |
| | Canyon | 50 | 5,00 | 0,00 | 10,00 | 10,00 | 40,00 | 1.00 | 2678,06 | 7,10 | 2,70 | 0,50 | -- | 99,70 | 99,56 | -- | 0,16 | 0,21 | 0,11 |
| Plein | Normaal | 50 | 5,00 | 0,00 | -- | -- | 0,00 | 1.00 | 6064,64 | 6,78 | 2,85 | 0,90 | -- | 90,10 | 91,61 | -- | 5,38 | 4,01 | 3,11 |
| Plein | Normaal | 50 | 5,00 | 0,00 | -- | -- | 0,00 | 1.00 | 6373,12 | 6,78 | 2,85 | 0,90 | -- | 90,45 | 91,92 | -- | 5,18 | 3,85 | 3,01 |
| | Canyon | 50 | 5,00 | 0,00 | 10,00 | 10,00 | 40,00 | 1.00 | 370,75 | 7,10 | 2,70 | 0,50 | -- | 98,34 | 97,47 | -- | 0,70 | 0,89 | 0,81 |
| | Normaal | 50 | 5,00 | 0,00 | -- | -- | 0,00 | 1.00 | 494,20 | 7,10 | 2,70 | 0,50 | -- | 100,00 | 100,00 | -- | -- | -- | -- |
| | Canyon | 50 | 5,00 | 0,00 | 10,00 | 10,00 | 40,00 | 1.00 | 4958,95 | 7,10 | 2,70 | 0,50 | -- | 98,23 | 97,57 | -- | 1,41 | 1,80 | 0,31 |
| | Normaal | 50 | 5,00 | 0,00 | -- | -- | 0,00 | 1.00 | 24,92 | 7,10 | 2,70 | 0,50 | -- | 100,00 | 100,00 | -- | -- | -- | -- |
| | Canyon | 50 | 5,00 | 0,00 | 10,00 | 10,00 | 40,00 | 1.00 | 6708,25 | 7,10 | 2,70 | 0,50 | -- | 98,75 | 98,31 | -- | 1,03 | 1,32 | 0,18 |
| | Canyon | 50 | 5,00 | 0,00 | 10,00 | 10,00 | 40,00 | 1.00 | 6387,10 | 7,10 | 2,70 | 0,50 | -- | 98,70 | 98,23 | -- | 1,08 | 1,38 | 0,19 |
| | Canyon | 50 | 5,00 | 0,00 | 10,00 | 10,00 | 40,00 | 1.00 | 3330,27 | 7,10 | 2,69 | 0,50 | -- | 97,36 | 96,40 | -- | 2,09 | 2,68 | 0,46 |
| | Normaal | 50 | 5,00 | 0,00 | 10,00 | 10,00 | 40,00 | 1.00 | 3498,42 | 7,10 | 2,70 | 0,50 | -- | 98,26 | 97,32 | -- | 0,67 | 0,85 | 0,90 |
| Plein | Canyon | 50 | 5,00 | 0,00 | 10,00 | 10,00 | 40,00 | 1.00 | 917,88 | 7,10 | 2,70 | 0,50 | -- | 98,82 | 98,21 | -- | 0,54 | 0,70 | 0,54 |
| Plein | Canyon | 50 | 5,00 | 0,00 | 10,00 | 10,00 | 40,00 | 1.00 | 917,88 | 7,10 | 2,70 | 0,50 | -- | 98,82 | 98,21 | -- | 0,54 | 0,70 | 0,54 |
| Plein | Canyon | 50 | 5,00 | 0,00 | 10,00 | 10,00 | 40,00 | 1.00 | 917,88 | 7,10 | 2,70 | 0,50 | -- | 98,82 | 98,21 | -- | 0,54 | 0,70 | 0,54 |
| Plein | Canyon | 50 | 5,00 | 0,00 | 10,00 | 10,00 | 40,00 | 1.00 | 917,88 | 7,10 | 2,70 | 0,50 | -- | 98,82 | 98,21 | -- | 0,54 | 0,70 | 0,54 |
| Plein | Normaal | 50 | 5,00 | 0,00 | -- | -- | 0,00 | 1.00 | 17056,33 | 6,88 | 2,65 | 0,86 | -- | 94,56 | 95,54 | -- | 3,17 | 2,29 | 1,21 |
| Plein | Normaal | 50 | 5,00 | 0,00 | -- | -- | 0,00 | 1.00 | 3717,08 | 7,09 | 2,70 | 0,51 | -- | 95,77 | 93,88 | -- | 2,37 | 3,00 | 1,56 |
| Plein | Canyon | 50 | 5,00 | 0,00 | 10,00 | 10,00 | 40,00 | 1.00 | 1068,38 | 7,10 | 2,70 | 0,50 | -- | 99,69 | 99,55 | -- | 0,18 | 0,24 | 0,11 |
| | Normaal | 50 | 5,00 | 0,00 | -- | -- | 0,00 | 1.00 | 24,92 | 7,10 | 2,70 | 0,50 | -- | 100,00 | 100,00 | -- | -- | -- | -- |
| | Normaal | 50 | 5,00 | 0,00 | -- | -- | 0,00 | 1.00 | 24,92 | 7,10 | 2,70 | 0,50 | -- | 100,00 | 100,00 | -- | -- | -- | -- |
| | Normaal | 50 | 5,00 | 0,00 | -- | -- | 0,00 | 1.00 | 24,92 | 7,10 | 2,70 | 0,50 | -- | 100,00 | 100,00 | -- | -- | -- | -- |

Invoergegevens wegen

Model: Variant 1
 Groep: (hoofdgroep)
 Lijst van Wegen, voor rekenmethode Luchtkwaliteit - STACKS

| Naam | %ZV(A) | %ZV(N) |
|-------|--------|--------|
| Plein | 0,75 | 1,28 |
| Plein | -- | -- |
| Plein | -- | -- |
| Plein | 0,24 | 0,25 |
| Plein | 0,27 | 0,28 |
| | 1,07 | 1,82 |
| Plein | 1,86 | 3,12 |
| Plein | 1,86 | 3,12 |
| Plein | 1,00 | 1,03 |
| Plein | 1,00 | 1,03 |
| | 0,13 | 0,22 |
| Plein | 0,13 | 0,22 |
| Plein | 2,24 | 2,15 |
| Plein | 4,52 | 4,38 |
| | 0,13 | 0,23 |
| | 4,52 | 4,38 |
| Plein | 4,37 | 4,23 |
| | 0,96 | 1,64 |
| | -- | -- |
| | 0,37 | 0,62 |
| | -- | -- |
| | 0,22 | 0,37 |
| | 0,23 | 0,39 |
| | 0,55 | 0,93 |
| | 1,07 | 1,82 |
| Plein | 0,64 | 1,09 |
| Plein | 0,64 | 1,09 |
| Plein | 0,64 | 1,09 |
| Plein | 0,64 | 1,09 |
| Plein | 2,27 | 2,18 |
| | 1,86 | 3,12 |
| Plein | 0,13 | 0,22 |
| | -- | -- |
| | -- | -- |
| | -- | -- |

Invoergegevens wegen

Antea Group

Model: Variant 1
 Groep: (hoofdgroep)
 Lijst van Wegen, voor rekenmethode Luchtkwaliteit - STACKS

| Naam | Wegtype | V | Breedte | Vent.F | Can. H(L) | Can. H(R) | Can. br | Fboom | Totaal aantal | %Int(D) | %Int(A) | %Int(N) | %LV(D) | %LV(A) | %LV(N) | %MV(D) | %MV(A) | %MV(N) | %ZV(D) |
|------|---------|----|---------|--------|-----------|-----------|---------|-------|---------------|---------|---------|---------|--------|--------|--------|--------|--------|--------|--------|
| | Normaal | 50 | 5,00 | 0,00 | -- | -- | 0,00 | 1.00 | 24,92 | 7,10 | 2,70 | 0,50 | -- | 100,00 | 100,00 | -- | -- | -- | -- |
| 08 | Canyon | 50 | 5,00 | 0,50 | 15,00 | 28,00 | 40,00 | 1.00 | 3200,00 | 7,10 | 2,70 | 0,50 | 99,54 | 99,53 | 99,29 | 0,26 | 0,23 | 0,29 | 0,21 |
| 08 | Canyon | 50 | 5,00 | 0,50 | 7,00 | -- | 40,00 | 1.00 | 1011,01 | 7,10 | 2,70 | 0,50 | 99,54 | 99,53 | 99,29 | 0,26 | 0,23 | 0,29 | 0,21 |
| 08 | Normaal | 50 | 5,00 | 0,00 | -- | -- | 0,00 | 1.00 | 1011,01 | 7,10 | 2,70 | 0,50 | 99,54 | 99,53 | 99,29 | 0,26 | 0,23 | 0,29 | 0,21 |
| 08 | Canyon | 50 | 5,00 | 0,50 | 16,00 | 28,00 | 40,00 | 1.00 | 5356,67 | 7,10 | 2,70 | 0,51 | 97,37 | 97,45 | 96,37 | 1,87 | 1,64 | 2,10 | 0,76 |
| 08 | Canyon | 50 | 5,00 | 0,50 | 21,00 | 40,00 | 40,00 | 1.00 | 5356,67 | 7,10 | 2,70 | 0,51 | 97,37 | 97,45 | 96,37 | 1,87 | 1,64 | 2,10 | 0,76 |
| 12 | Normaal | 50 | 5,00 | 0,00 | -- | -- | 0,00 | 1.00 | 4948,37 | 7,10 | 2,70 | 0,50 | 99,63 | 99,62 | 99,43 | 0,21 | 0,18 | 0,23 | 0,16 |
| 12 | Normaal | 50 | 5,00 | 0,00 | -- | -- | 0,00 | 1.00 | 69,58 | 7,10 | 2,70 | 0,50 | 100,00 | 100,00 | 100,00 | -- | -- | -- | -- |
| 12 | Normaal | 50 | 5,00 | 0,00 | -- | -- | 0,00 | 1.00 | 69,58 | 7,10 | 2,70 | 0,50 | 100,00 | 100,00 | 100,00 | -- | -- | -- | -- |
| 12 | Normaal | 50 | 5,00 | 0,00 | -- | -- | 0,00 | 1.00 | 69,58 | 7,10 | 2,70 | 0,50 | 100,00 | 100,00 | 100,00 | -- | -- | -- | -- |
| 10 | Normaal | 23 | 7,00 | 0,00 | -- | -- | 0,00 | 1.00 | 2381,86 | 7,10 | 2,70 | 0,50 | 98,84 | 98,98 | 98,69 | 1,16 | 1,02 | 1,31 | -- |
| 10a | Canyon | 23 | 7,00 | 0,50 | 6,00 | -- | 40,00 | 1.00 | 1191,00 | 7,10 | 2,70 | 0,50 | 98,84 | 98,98 | 98,69 | 1,16 | 1,02 | 1,31 | -- |
| 10b | Canyon | 23 | 7,00 | 0,50 | 15,00 | -- | 40,00 | 1.00 | 1191,00 | 7,10 | 2,70 | 0,50 | 98,84 | 98,98 | 98,69 | 1,16 | 1,02 | 1,31 | -- |

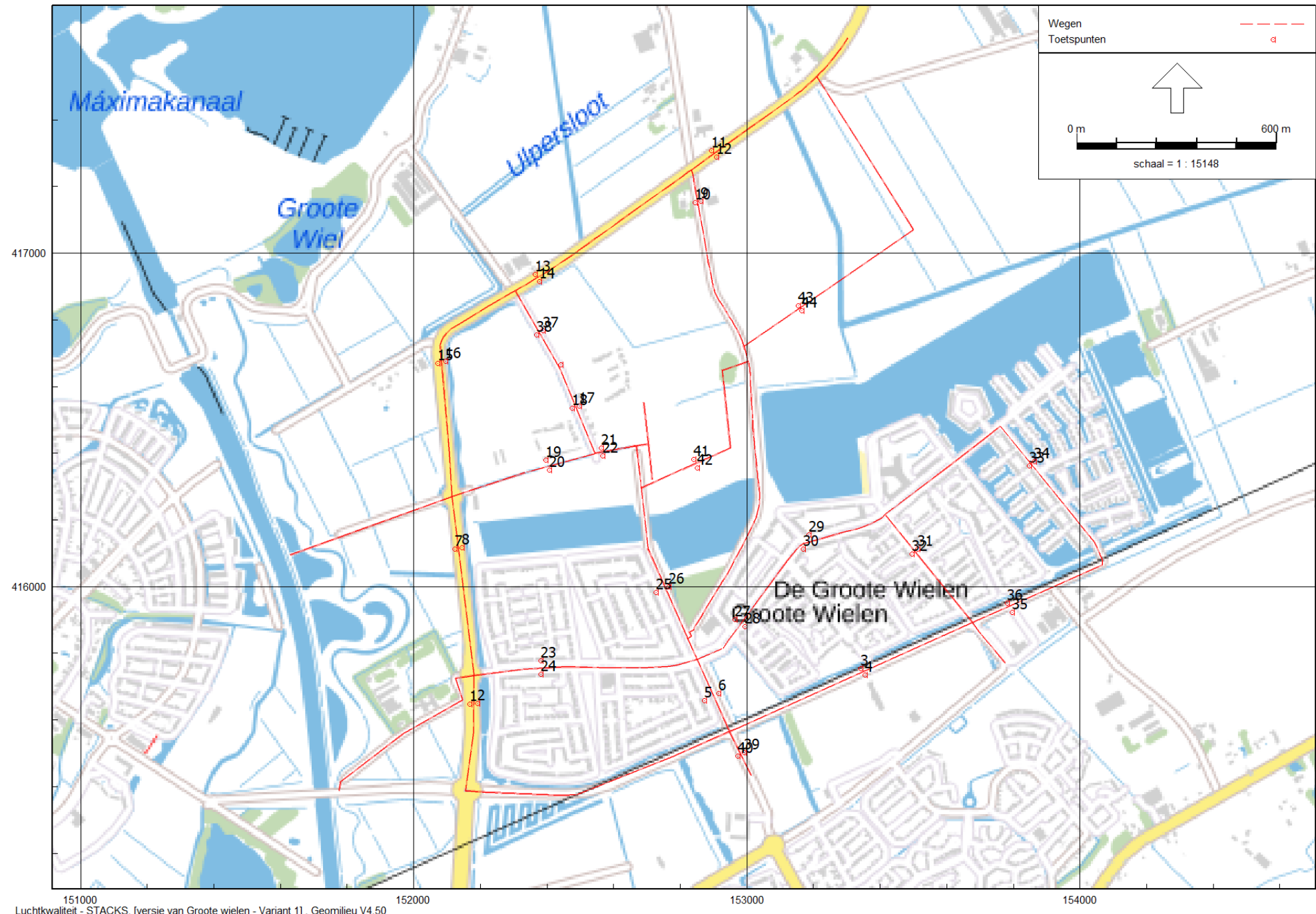
Invoergegevens wegen

Antea Group

Model: Variant 1
Groep: (hoofdgroep)
Lijst van Wegen, voor rekenmethode Luchtkwaliteit - STACKS

| Naam | %ZV(A) | %ZV(N) |
|------|--------|--------|
| | -- | -- |
| 08 | 0,24 | 0,42 |
| 08 | 0,24 | 0,42 |
| 08 | 0,24 | 0,42 |
| 08 | 0,90 | 1,53 |
| 08 | 0,90 | 1,53 |
| 12 | 0,19 | 0,33 |
| 12 | -- | -- |
| 12 | -- | -- |
| 12 | -- | -- |
| 10 | -- | -- |
| 10a | -- | -- |
| 10b | -- | -- |

Bijlage 2: Beoordelingspunten



Bijlage 3: Rekenresultaten

Rapport: Resultatentabel
 Model: Variant 1
 Resultaten voor model: Variant 1
 Stof: NO2 - Stikstofdioxide
 Referentiejaar: 2020

| Naam | Omschrijving | X coördinaat | Y coördinaat | NO2 Concentratie [$\mu\text{g}/\text{m}^3$] | NO2 Achtergrond [$\mu\text{g}/\text{m}^3$] |
|------|--------------|--------------|--------------|---|--|
| 1 | 1 | 152168,38 | 415648,07 | 17,2 | 16,5 |
| 2 | 2 | 152191,39 | 415649,08 | 17,4 | 16,5 |
| 3 | 3 | 153342,50 | 415754,44 | 15,9 | 15,8 |
| 4 | 4 | 153354,89 | 415734,79 | 15,9 | 15,8 |
| 5 | 5 | 152872,98 | 415657,41 | 16,7 | 16,5 |
| 6 | 6 | 152914,89 | 415679,62 | 16,8 | 16,5 |
| 7 | 7 | 152122,99 | 416112,17 | 15,4 | 14,8 |
| 8 | 8 | 152145,67 | 416116,18 | 15,6 | 14,8 |
| 9 | 9 | 152861,42 | 417155,20 | 14,5 | 14,4 |
| 10 | 10 | 152844,85 | 417151,21 | 14,5 | 14,4 |
| 11 | 11 | 152894,39 | 417307,81 | 14,8 | 14,4 |
| 12 | 12 | 152908,26 | 417289,45 | 14,8 | 14,4 |
| 13 | 13 | 152364,00 | 416935,82 | 15,3 | 14,8 |
| 14 | 14 | 152378,02 | 416915,60 | 15,2 | 14,8 |
| 15 | 15 | 152072,23 | 416670,33 | 15,2 | 14,8 |
| 16 | 16 | 152094,92 | 416674,99 | 15,3 | 14,8 |
| 17 | 17 | 152496,96 | 416542,43 | 15,0 | 14,8 |
| 18 | 18 | 152476,13 | 416535,27 | 15,0 | 14,8 |
| 19 | 19 | 152396,25 | 416379,05 | 15,1 | 14,8 |
| 20 | 20 | 152407,29 | 416349,60 | 15,2 | 14,8 |
| 21 | 21 | 152562,97 | 416414,96 | 15,2 | 14,8 |
| 22 | 22 | 152567,98 | 416392,64 | 15,2 | 14,8 |
| 23 | 23 | 152381,72 | 415776,49 | 16,7 | 16,5 |
| 24 | 24 | 152382,59 | 415737,39 | 16,6 | 16,5 |
| 25 | 25 | 152726,60 | 415982,16 | 16,6 | 16,5 |
| 26 | 26 | 152765,90 | 416000,17 | 15,0 | 14,8 |
| 27 | 27 | 152964,73 | 415900,36 | 16,7 | 16,5 |
| 28 | 28 | 152994,33 | 415880,53 | 16,9 | 16,5 |
| 29 | 29 | 153187,01 | 416155,79 | 14,8 | 14,7 |
| 30 | 30 | 153169,20 | 416112,11 | 14,8 | 14,7 |
| 31 | 31 | 153512,82 | 416113,18 | 15,1 | 14,7 |
| 32 | 32 | 153495,96 | 416097,45 | 15,1 | 14,7 |
| 33 | 33 | 153848,69 | 416361,93 | 14,8 | 14,7 |
| 34 | 34 | 153863,13 | 416374,21 | 14,7 | 14,7 |
| 35 | 35 | 153795,86 | 415922,74 | 16,0 | 15,8 |
| 36 | 36 | 153782,63 | 415951,19 | 16,0 | 15,8 |
| 37 | 37 | 152387,23 | 416766,69 | 14,9 | 14,8 |
| 38 | 38 | 152368,05 | 416753,92 | 14,9 | 14,8 |
| 39 | 39 | 152992,98 | 415501,44 | 16,9 | 16,5 |
| 40 | 40 | 152971,86 | 415492,24 | 16,8 | 16,5 |
| 41 | 41 | 152840,97 | 416381,00 | 16,2 | 14,8 |
| 42 | 42 | 152851,74 | 416355,88 | 15,9 | 14,8 |
| 43 | 43 | 153155,17 | 416843,43 | 14,8 | 14,7 |
| 44 | 44 | 153165,57 | 416827,36 | 14,8 | 14,7 |
| | | 152441,10 | 416664,81 | 14,9 | 14,8 |

Rapport: Resultatentabel
Model: Variant 1
Resultaten voor model: Variant 1
Stof: NO2 - Stikstofdioxide
Referentiejaar: 2020

| Naam | NO2 Bronbijdrage [$\mu\text{g}/\text{m}^3$] | NO2 # Overschrijdingen | uur limiet [-] |
|------|---|------------------------|----------------|
| 1 | 0,7 | | 0 |
| 2 | 0,9 | | 0 |
| 3 | 0,1 | | 0 |
| 4 | 0,1 | | 0 |
| 5 | 0,1 | | 0 |
| 6 | 0,3 | | 0 |
| 7 | 0,6 | | 0 |
| 8 | 0,8 | | 0 |
| 9 | 0,1 | | 0 |
| 10 | 0,1 | | 0 |
| 11 | 0,4 | | 0 |
| 12 | 0,4 | | 0 |
| 13 | 0,4 | | 0 |
| 14 | 0,4 | | 0 |
| 15 | 0,3 | | 0 |
| 16 | 0,4 | | 0 |
| 17 | 0,2 | | 0 |
| 18 | 0,2 | | 0 |
| 19 | 0,3 | | 0 |
| 20 | 0,4 | | 0 |
| 21 | 0,3 | | 0 |
| 22 | 0,3 | | 0 |
| 23 | 0,1 | | 0 |
| 24 | 0,0 | | 0 |
| 25 | 0,1 | | 0 |
| 26 | 0,2 | | 0 |
| 27 | 0,1 | | 0 |
| 28 | 0,3 | | 0 |
| 29 | 0,1 | | 0 |
| 30 | 0,0 | | 0 |
| 31 | 0,4 | | 0 |
| 32 | 0,3 | | 0 |
| 33 | 0,0 | | 0 |
| 34 | 0,0 | | 0 |
| 35 | 0,1 | | 0 |
| 36 | 0,2 | | 0 |
| 37 | 0,0 | | 0 |
| 38 | 0,0 | | 0 |
| 39 | 0,3 | | 0 |
| 40 | 0,3 | | 0 |
| 41 | 1,4 | | 0 |
| 42 | 1,1 | | 0 |
| 43 | 0,1 | | 0 |
| 44 | 0,1 | | 0 |
| | 0,0 | | 0 |

Rapport: Resultatentabel
 Model: Variant 1
 Resultaten voor model: Variant 1
 Stof: PM10 - Fijnstof
 Zeezoutcorrectie: Nee
 Referentiejaar: 2020

| Naam | Omschrijving | X coördinaat | Y coördinaat | PM10 Concentratie [$\mu\text{g}/\text{m}^3$] | PM10 Achtergrond [$\mu\text{g}/\text{m}^3$] |
|------|--------------|--------------|--------------|--|---|
| 1 | 1 | 152168,38 | 415648,07 | 19,1 | 19,0 |
| 2 | 2 | 152191,39 | 415649,08 | 19,2 | 19,0 |
| 3 | 3 | 153342,50 | 415754,44 | 19,0 | 18,9 |
| 4 | 4 | 153354,89 | 415734,79 | 19,0 | 18,9 |
| 5 | 5 | 152872,98 | 415657,41 | 19,0 | 19,0 |
| 6 | 6 | 152914,89 | 415679,62 | 19,1 | 19,0 |
| 7 | 7 | 152122,99 | 416112,17 | 18,8 | 18,7 |
| 8 | 8 | 152145,67 | 416116,18 | 18,8 | 18,7 |
| 9 | 9 | 152861,42 | 417155,20 | 18,9 | 18,8 |
| 10 | 10 | 152844,85 | 417151,21 | 18,9 | 18,8 |
| 11 | 11 | 152894,39 | 417307,81 | 18,9 | 18,8 |
| 12 | 12 | 152908,26 | 417289,45 | 18,9 | 18,8 |
| 13 | 13 | 152364,00 | 416935,82 | 18,8 | 18,7 |
| 14 | 14 | 152378,02 | 416915,60 | 18,7 | 18,7 |
| 15 | 15 | 152072,23 | 416670,33 | 18,7 | 18,7 |
| 16 | 16 | 152094,92 | 416674,99 | 18,8 | 18,7 |
| 17 | 17 | 152496,96 | 416542,43 | 18,7 | 18,7 |
| 18 | 18 | 152476,13 | 416535,27 | 18,7 | 18,7 |
| 19 | 19 | 152396,25 | 416379,05 | 18,7 | 18,7 |
| 20 | 20 | 152407,29 | 416349,60 | 18,8 | 18,7 |
| 21 | 21 | 152562,97 | 416414,96 | 18,7 | 18,7 |
| 22 | 22 | 152567,98 | 416392,64 | 18,7 | 18,7 |
| 23 | 23 | 152381,72 | 415776,49 | 19,0 | 19,0 |
| 24 | 24 | 152382,59 | 415737,39 | 19,0 | 19,0 |
| 25 | 25 | 152726,60 | 415982,16 | 19,0 | 19,0 |
| 26 | 26 | 152765,90 | 416000,17 | 18,7 | 18,7 |
| 27 | 27 | 152964,73 | 415900,36 | 19,0 | 19,0 |
| 28 | 28 | 152994,33 | 415880,53 | 19,1 | 19,0 |
| 29 | 29 | 153187,01 | 416155,79 | 19,0 | 19,0 |
| 30 | 30 | 153169,20 | 416112,11 | 19,0 | 19,0 |
| 31 | 31 | 153512,82 | 416113,18 | 19,1 | 19,0 |
| 32 | 32 | 153495,96 | 416097,45 | 19,1 | 19,0 |
| 33 | 33 | 153848,69 | 416361,93 | 19,0 | 19,0 |
| 34 | 34 | 153863,13 | 416374,21 | 19,0 | 19,0 |
| 35 | 35 | 153795,86 | 415922,74 | 19,0 | 18,9 |
| 36 | 36 | 153782,63 | 415951,19 | 19,0 | 18,9 |
| 37 | 37 | 152387,23 | 416766,69 | 18,7 | 18,7 |
| 38 | 38 | 152368,05 | 416753,92 | 18,7 | 18,7 |
| 39 | 39 | 152992,98 | 415501,44 | 19,1 | 19,0 |
| 40 | 40 | 152971,86 | 415492,24 | 19,1 | 19,0 |
| 41 | 41 | 152840,97 | 416381,00 | 18,9 | 18,7 |
| 42 | 42 | 152851,74 | 416355,88 | 18,8 | 18,7 |
| 43 | 43 | 153155,17 | 416843,43 | 19,0 | 19,0 |
| 44 | 44 | 153165,57 | 416827,36 | 19,0 | 19,0 |
| | | 152441,10 | 416664,81 | 18,7 | 18,7 |

Rapport: Resultatentabel
Model: Variant 1
Resultaten voor model: Variant 1
Stof: PM10 - Fijnstof
Zeezoutcorrectie: Nee
Referentiejaar: 2020

| Naam | PM10 Bronbijdrage [$\mu\text{g}/\text{m}^3$] | PM10 # Overschrijdingen 24 uur limiet [-] |
|------|--|---|
| 1 | 0,1 | 7 |
| 2 | 0,1 | 7 |
| 3 | 0,0 | 7 |
| 4 | 0,0 | 7 |
| 5 | 0,0 | 7 |
| 6 | 0,0 | 7 |
| 7 | 0,1 | 7 |
| 8 | 0,1 | 7 |
| 9 | 0,0 | 7 |
| 10 | 0,0 | 7 |
| 11 | 0,1 | 7 |
| 12 | 0,1 | 7 |
| 13 | 0,1 | 7 |
| 14 | 0,1 | 7 |
| 15 | 0,1 | 7 |
| 16 | 0,1 | 7 |
| 17 | 0,0 | 7 |
| 18 | 0,0 | 7 |
| 19 | 0,0 | 7 |
| 20 | 0,1 | 7 |
| 21 | 0,1 | 7 |
| 22 | 0,1 | 7 |
| 23 | 0,0 | 7 |
| 24 | 0,0 | 7 |
| 25 | 0,0 | 7 |
| 26 | 0,0 | 7 |
| 27 | 0,0 | 7 |
| 28 | 0,0 | 7 |
| 29 | 0,0 | 7 |
| 30 | 0,0 | 7 |
| 31 | 0,1 | 7 |
| 32 | 0,1 | 7 |
| 33 | 0,0 | 7 |
| 34 | 0,0 | 7 |
| 35 | 0,0 | 7 |
| 36 | 0,0 | 7 |
| 37 | 0,0 | 7 |
| 38 | 0,0 | 7 |
| 39 | 0,1 | 7 |
| 40 | 0,0 | 7 |
| 41 | 0,2 | 7 |
| 42 | 0,2 | 7 |
| 43 | 0,0 | 7 |
| 44 | 0,0 | 7 |
| | 0,0 | 7 |

Rapport: Resultatentabel
 Model: Variant 1
 Resultaten voor model: Variant 1
 Stof: PM2.5 - Zeer fijnstof
 Referentiejaar: 2020

| Naam | Omschrijving | X coördinaat | Y coördinaat | PM2.5 Concentratie [$\mu\text{g}/\text{m}^3$] | PM2.5 Achtergrond [$\mu\text{g}/\text{m}^3$] |
|------|--------------|--------------|--------------|---|--|
| 1 | 1 | 152168,38 | 415648,07 | 11,9 | 11,8 |
| 2 | 2 | 152191,39 | 415649,08 | 11,9 | 11,8 |
| 3 | 3 | 153342,50 | 415754,44 | 11,7 | 11,7 |
| 4 | 4 | 153354,89 | 415734,79 | 11,7 | 11,7 |
| 5 | 5 | 152872,98 | 415657,41 | 11,8 | 11,8 |
| 6 | 6 | 152914,89 | 415679,62 | 11,8 | 11,8 |
| 7 | 7 | 152122,99 | 416112,17 | 11,6 | 11,6 |
| 8 | 8 | 152145,67 | 416116,18 | 11,6 | 11,6 |
| 9 | 9 | 152861,42 | 417155,20 | 11,6 | 11,6 |
| 10 | 10 | 152844,85 | 417151,21 | 11,6 | 11,6 |
| 11 | 11 | 152894,39 | 417307,81 | 11,6 | 11,6 |
| 12 | 12 | 152908,26 | 417289,45 | 11,6 | 11,6 |
| 13 | 13 | 152364,00 | 416935,82 | 11,6 | 11,6 |
| 14 | 14 | 152378,02 | 416915,60 | 11,6 | 11,6 |
| 15 | 15 | 152072,23 | 416670,33 | 11,6 | 11,6 |
| 16 | 16 | 152094,92 | 416674,99 | 11,6 | 11,6 |
| 17 | 17 | 152496,96 | 416542,43 | 11,6 | 11,6 |
| 18 | 18 | 152476,13 | 416535,27 | 11,6 | 11,6 |
| 19 | 19 | 152396,25 | 416379,05 | 11,6 | 11,6 |
| 20 | 20 | 152407,29 | 416349,60 | 11,6 | 11,6 |
| 21 | 21 | 152562,97 | 416414,96 | 11,6 | 11,6 |
| 22 | 22 | 152567,98 | 416392,64 | 11,6 | 11,6 |
| 23 | 23 | 152381,72 | 415776,49 | 11,8 | 11,8 |
| 24 | 24 | 152382,59 | 415737,39 | 11,8 | 11,8 |
| 25 | 25 | 152726,60 | 415982,16 | 11,8 | 11,8 |
| 26 | 26 | 152765,90 | 416000,17 | 11,6 | 11,6 |
| 27 | 27 | 152964,73 | 415900,36 | 11,8 | 11,8 |
| 28 | 28 | 152994,33 | 415880,53 | 11,8 | 11,8 |
| 29 | 29 | 153187,01 | 416155,79 | 11,9 | 11,9 |
| 30 | 30 | 153169,20 | 416112,11 | 11,9 | 11,9 |
| 31 | 31 | 153512,82 | 416113,18 | 11,9 | 11,9 |
| 32 | 32 | 153495,96 | 416097,45 | 11,9 | 11,9 |
| 33 | 33 | 153848,69 | 416361,93 | 11,9 | 11,9 |
| 34 | 34 | 153863,13 | 416374,21 | 11,9 | 11,9 |
| 35 | 35 | 153795,86 | 415922,74 | 11,7 | 11,7 |
| 36 | 36 | 153782,63 | 415951,19 | 11,7 | 11,7 |
| 37 | 37 | 152387,23 | 416766,69 | 11,6 | 11,6 |
| 38 | 38 | 152368,05 | 416753,92 | 11,6 | 11,6 |
| 39 | 39 | 152992,98 | 415501,44 | 11,8 | 11,8 |
| 40 | 40 | 152971,86 | 415492,24 | 11,8 | 11,8 |
| 41 | 41 | 152840,97 | 416381,00 | 11,6 | 11,6 |
| 42 | 42 | 152851,74 | 416355,88 | 11,6 | 11,6 |
| 43 | 43 | 153155,17 | 416843,43 | 11,9 | 11,9 |
| 44 | 44 | 153165,57 | 416827,36 | 11,9 | 11,9 |
| | | 152441,10 | 416664,81 | 11,6 | 11,6 |

Rapport: Resultatentabel
Model: Variant 1
Resultaten voor model: Variant 1
Stof: PM2.5 - Zeer fijnstof
Referentiejaar: 2020

| Naam | PM2.5 Bronbijdrage [$\mu\text{g}/\text{m}^3$] |
|------|---|
| 1 | 0,0 |
| 2 | 0,0 |
| 3 | 0,0 |
| 4 | 0,0 |
| 5 | 0,0 |
| 6 | 0,0 |
| 7 | 0,0 |
| 8 | 0,0 |
| 9 | 0,0 |
| 10 | 0,0 |
| 11 | 0,0 |
| 12 | 0,0 |
| 13 | 0,0 |
| 14 | 0,0 |
| 15 | 0,0 |
| 16 | 0,0 |
| 17 | 0,0 |
| 18 | 0,0 |
| 19 | 0,0 |
| 20 | 0,0 |
| 21 | 0,0 |
| 22 | 0,0 |
| 23 | 0,0 |
| 24 | 0,0 |
| 25 | 0,0 |
| 26 | 0,0 |
| 27 | 0,0 |
| 28 | 0,0 |
| 29 | 0,0 |
| 30 | 0,0 |
| 31 | 0,0 |
| 32 | 0,0 |
| 33 | 0,0 |
| 34 | 0,0 |
| 35 | 0,0 |
| 36 | 0,0 |
| 37 | 0,0 |
| 38 | 0,0 |
| 39 | 0,0 |
| 40 | 0,0 |
| 41 | 0,1 |
| 42 | 0,1 |
| 43 | 0,0 |
| 44 | 0,0 |
| | 0,0 |

Rapport: Resultatentabel
 Model: Variant 1
 Resultaten voor model: Variant 1
 Stof: NO2 - Stikstofdioxide
 Referentiejaar: 2030

| Naam | Omschrijving | X coördinaat | Y coördinaat | NO2 Concentratie [$\mu\text{g}/\text{m}^3$] | NO2 Achtergrond [$\mu\text{g}/\text{m}^3$] |
|------|--------------|--------------|--------------|---|--|
| 1 | 1 | 152168,38 | 415648,07 | 11,4 | 11,1 |
| 2 | 2 | 152191,39 | 415649,08 | 11,5 | 11,1 |
| 3 | 3 | 153342,50 | 415754,44 | 10,9 | 10,9 |
| 4 | 4 | 153354,89 | 415734,79 | 10,9 | 10,9 |
| 5 | 5 | 152872,98 | 415657,41 | 11,1 | 11,1 |
| 6 | 6 | 152914,89 | 415679,62 | 11,2 | 11,1 |
| 7 | 7 | 152122,99 | 416112,17 | 10,3 | 10,1 |
| 8 | 8 | 152145,67 | 416116,18 | 10,4 | 10,1 |
| 9 | 9 | 152861,42 | 417155,20 | 9,9 | 9,8 |
| 10 | 10 | 152844,85 | 417151,21 | 9,9 | 9,8 |
| 11 | 11 | 152894,39 | 417307,81 | 10,0 | 9,8 |
| 12 | 12 | 152908,26 | 417289,45 | 10,0 | 9,8 |
| 13 | 13 | 152364,00 | 416935,82 | 10,3 | 10,1 |
| 14 | 14 | 152378,02 | 416915,60 | 10,3 | 10,1 |
| 15 | 15 | 152072,23 | 416670,33 | 10,2 | 10,1 |
| 16 | 16 | 152094,92 | 416674,99 | 10,3 | 10,1 |
| 17 | 17 | 152496,96 | 416542,43 | 10,2 | 10,1 |
| 18 | 18 | 152476,13 | 416535,27 | 10,1 | 10,1 |
| 19 | 19 | 152396,25 | 416379,05 | 10,2 | 10,1 |
| 20 | 20 | 152407,29 | 416349,60 | 10,2 | 10,1 |
| 21 | 21 | 152562,97 | 416414,96 | 10,2 | 10,1 |
| 22 | 22 | 152567,98 | 416392,64 | 10,2 | 10,1 |
| 23 | 23 | 152381,72 | 415776,49 | 11,1 | 11,1 |
| 24 | 24 | 152382,59 | 415737,39 | 11,1 | 11,1 |
| 25 | 25 | 152726,60 | 415982,16 | 11,1 | 11,1 |
| 26 | 26 | 152765,90 | 416000,17 | 10,2 | 10,1 |
| 27 | 27 | 152964,73 | 415900,36 | 11,1 | 11,1 |
| 28 | 28 | 152994,33 | 415880,53 | 11,2 | 11,1 |
| 29 | 29 | 153187,01 | 416155,79 | 10,2 | 10,1 |
| 30 | 30 | 153169,20 | 416112,11 | 10,2 | 10,1 |
| 31 | 31 | 153512,82 | 416113,18 | 10,3 | 10,1 |
| 32 | 32 | 153495,96 | 416097,45 | 10,3 | 10,1 |
| 33 | 33 | 153848,69 | 416361,93 | 10,2 | 10,1 |
| 34 | 34 | 153863,13 | 416374,21 | 10,2 | 10,1 |
| 35 | 35 | 153795,86 | 415922,74 | 11,0 | 10,9 |
| 36 | 36 | 153782,63 | 415951,19 | 11,0 | 10,9 |
| 37 | 37 | 152387,23 | 416766,69 | 10,1 | 10,1 |
| 38 | 38 | 152368,05 | 416753,92 | 10,1 | 10,1 |
| 39 | 39 | 152992,98 | 415501,44 | 11,2 | 11,1 |
| 40 | 40 | 152971,86 | 415492,24 | 11,2 | 11,1 |
| 41 | 41 | 152840,97 | 416381,00 | 10,7 | 10,1 |
| 42 | 42 | 152851,74 | 416355,88 | 10,5 | 10,1 |
| 43 | 43 | 153155,17 | 416843,43 | 10,2 | 10,1 |
| 44 | 44 | 153165,57 | 416827,36 | 10,2 | 10,1 |
| | | 152441,10 | 416664,81 | 10,1 | 10,1 |

Rapport: Resultatentabel
Model: Variant 1
Resultaten voor model: Variant 1
Stof: NO2 - Stikstofdioxide
Referentiejaar: 2030

| Naam | NO2 Bronbijdrage [$\mu\text{g}/\text{m}^3$] | NO2 # Overschrijdingen | uur limiet [-] |
|------|---|------------------------|----------------|
| 1 | 0,3 | | 0 |
| 2 | 0,4 | | 0 |
| 3 | 0,0 | | 0 |
| 4 | 0,0 | | 0 |
| 5 | 0,1 | | 0 |
| 6 | 0,1 | | 0 |
| 7 | 0,3 | | 0 |
| 8 | 0,4 | | 0 |
| 9 | 0,1 | | 0 |
| 10 | 0,1 | | 0 |
| 11 | 0,2 | | 0 |
| 12 | 0,2 | | 0 |
| 13 | 0,2 | | 0 |
| 14 | 0,2 | | 0 |
| 15 | 0,2 | | 0 |
| 16 | 0,2 | | 0 |
| 17 | 0,1 | | 0 |
| 18 | 0,1 | | 0 |
| 19 | 0,1 | | 0 |
| 20 | 0,2 | | 0 |
| 21 | 0,2 | | 0 |
| 22 | 0,1 | | 0 |
| 23 | 0,1 | | 0 |
| 24 | 0,0 | | 0 |
| 25 | 0,0 | | 0 |
| 26 | 0,1 | | 0 |
| 27 | 0,1 | | 0 |
| 28 | 0,1 | | 0 |
| 29 | 0,0 | | 0 |
| 30 | 0,0 | | 0 |
| 31 | 0,2 | | 0 |
| 32 | 0,2 | | 0 |
| 33 | 0,0 | | 0 |
| 34 | 0,0 | | 0 |
| 35 | 0,1 | | 0 |
| 36 | 0,1 | | 0 |
| 37 | 0,0 | | 0 |
| 38 | 0,0 | | 0 |
| 39 | 0,2 | | 0 |
| 40 | 0,1 | | 0 |
| 41 | 0,6 | | 0 |
| 42 | 0,5 | | 0 |
| 43 | 0,0 | | 0 |
| 44 | 0,0 | | 0 |
| | 0,0 | | 0 |

Rapport: Resultatentabel
 Model: Variant 1
 Resultaten voor model: Variant 1
 Stof: PM10 - Fijnstof
 Zeezoutcorrectie: Nee
 Referentiejaar: 2030

| Naam | Omschrijving | X coördinaat | Y coördinaat | PM10 Concentratie [$\mu\text{g}/\text{m}^3$] | PM10 Achtergrond [$\mu\text{g}/\text{m}^3$] |
|------|--------------|--------------|--------------|--|---|
| 1 | 1 | 152168,38 | 415648,07 | 15,9 | 15,8 |
| 2 | 2 | 152191,39 | 415649,08 | 16,0 | 15,8 |
| 3 | 3 | 153342,50 | 415754,44 | 15,8 | 15,8 |
| 4 | 4 | 153354,89 | 415734,79 | 15,8 | 15,8 |
| 5 | 5 | 152872,98 | 415657,41 | 15,8 | 15,8 |
| 6 | 6 | 152914,89 | 415679,62 | 15,8 | 15,8 |
| 7 | 7 | 152122,99 | 416112,17 | 15,6 | 15,5 |
| 8 | 8 | 152145,67 | 416116,18 | 15,6 | 15,5 |
| 9 | 9 | 152861,42 | 417155,20 | 15,6 | 15,6 |
| 10 | 10 | 152844,85 | 417151,21 | 15,6 | 15,6 |
| 11 | 11 | 152894,39 | 417307,81 | 15,7 | 15,6 |
| 12 | 12 | 152908,26 | 417289,45 | 15,7 | 15,6 |
| 13 | 13 | 152364,00 | 416935,82 | 15,6 | 15,5 |
| 14 | 14 | 152378,02 | 416915,60 | 15,6 | 15,5 |
| 15 | 15 | 152072,23 | 416670,33 | 15,6 | 15,5 |
| 16 | 16 | 152094,92 | 416674,99 | 15,6 | 15,5 |
| 17 | 17 | 152496,96 | 416542,43 | 15,5 | 15,5 |
| 18 | 18 | 152476,13 | 416535,27 | 15,5 | 15,5 |
| 19 | 19 | 152396,25 | 416379,05 | 15,5 | 15,5 |
| 20 | 20 | 152407,29 | 416349,60 | 15,6 | 15,5 |
| 21 | 21 | 152562,97 | 416414,96 | 15,6 | 15,5 |
| 22 | 22 | 152567,98 | 416392,64 | 15,6 | 15,5 |
| 23 | 23 | 152381,72 | 415776,49 | 15,8 | 15,8 |
| 24 | 24 | 152382,59 | 415737,39 | 15,8 | 15,8 |
| 25 | 25 | 152726,60 | 415982,16 | 15,8 | 15,8 |
| 26 | 26 | 152765,90 | 416000,17 | 15,5 | 15,5 |
| 27 | 27 | 152964,73 | 415900,36 | 15,8 | 15,8 |
| 28 | 28 | 152994,33 | 415880,53 | 15,9 | 15,8 |
| 29 | 29 | 153187,01 | 416155,79 | 15,8 | 15,8 |
| 30 | 30 | 153169,20 | 416112,11 | 15,8 | 15,8 |
| 31 | 31 | 153512,82 | 416113,18 | 15,8 | 15,8 |
| 32 | 32 | 153495,96 | 416097,45 | 15,8 | 15,8 |
| 33 | 33 | 153848,69 | 416361,93 | 15,8 | 15,8 |
| 34 | 34 | 153863,13 | 416374,21 | 15,8 | 15,8 |
| 35 | 35 | 153795,86 | 415922,74 | 15,8 | 15,8 |
| 36 | 36 | 153782,63 | 415951,19 | 15,8 | 15,8 |
| 37 | 37 | 152387,23 | 416766,69 | 15,5 | 15,5 |
| 38 | 38 | 152368,05 | 416753,92 | 15,5 | 15,5 |
| 39 | 39 | 152992,98 | 415501,44 | 15,9 | 15,8 |
| 40 | 40 | 152971,86 | 415492,24 | 15,8 | 15,8 |
| 41 | 41 | 152840,97 | 416381,00 | 15,7 | 15,5 |
| 42 | 42 | 152851,74 | 416355,88 | 15,6 | 15,5 |
| 43 | 43 | 153155,17 | 416843,43 | 15,8 | 15,8 |
| 44 | 44 | 153165,57 | 416827,36 | 15,8 | 15,8 |
| | | 152441,10 | 416664,81 | 15,5 | 15,5 |

Rapport: Resultatentabel
Model: Variant 1
Resultaten voor model: Variant 1
Stof: PM10 - Fijnstof
Zeezoutcorrectie: Nee
Referentiejaar: 2030

| Naam | PM10 Bronbijdrage [$\mu\text{g}/\text{m}^3$] | PM10 # Overschrijdingen 24 uur limiet [-] |
|------|--|---|
| 1 | 0,1 | 6 |
| 2 | 0,1 | 6 |
| 3 | 0,0 | 6 |
| 4 | 0,0 | 6 |
| 5 | 0,0 | 6 |
| 6 | 0,0 | 6 |
| 7 | 0,1 | 6 |
| 8 | 0,1 | 6 |
| 9 | 0,0 | 6 |
| 10 | 0,0 | 6 |
| 11 | 0,1 | 6 |
| 12 | 0,1 | 6 |
| 13 | 0,1 | 6 |
| 14 | 0,1 | 6 |
| 15 | 0,1 | 6 |
| 16 | 0,1 | 6 |
| 17 | 0,0 | 6 |
| 18 | 0,0 | 6 |
| 19 | 0,0 | 6 |
| 20 | 0,1 | 6 |
| 21 | 0,1 | 6 |
| 22 | 0,1 | 6 |
| 23 | 0,0 | 6 |
| 24 | 0,0 | 6 |
| 25 | 0,0 | 6 |
| 26 | 0,0 | 6 |
| 27 | 0,0 | 6 |
| 28 | 0,0 | 6 |
| 29 | 0,0 | 6 |
| 30 | 0,0 | 6 |
| 31 | 0,1 | 6 |
| 32 | 0,1 | 6 |
| 33 | 0,0 | 6 |
| 34 | 0,0 | 6 |
| 35 | 0,0 | 6 |
| 36 | 0,0 | 6 |
| 37 | 0,0 | 6 |
| 38 | 0,0 | 6 |
| 39 | 0,1 | 6 |
| 40 | 0,0 | 6 |
| 41 | 0,2 | 6 |
| 42 | 0,2 | 6 |
| 43 | 0,0 | 6 |
| 44 | 0,0 | 6 |
| | 0,0 | 6 |

Rapport: Resultatentabel
 Model: Variant 1
 Resultaten voor model: Variant 1
 Stof: PM2.5 - Zeer fijnstof
 Referentiejaar: 2030

| Naam | Omschrijving | X coördinaat | Y coördinaat | PM2.5 Concentratie [$\mu\text{g}/\text{m}^3$] | PM2.5 Achtergrond [$\mu\text{g}/\text{m}^3$] |
|------|--------------|--------------|--------------|---|--|
| 1 | 1 | 152168,38 | 415648,07 | 9,2 | 9,1 |
| 2 | 2 | 152191,39 | 415649,08 | 9,2 | 9,1 |
| 3 | 3 | 153342,50 | 415754,44 | 9,0 | 9,0 |
| 4 | 4 | 153354,89 | 415734,79 | 9,0 | 9,0 |
| 5 | 5 | 152872,98 | 415657,41 | 9,1 | 9,1 |
| 6 | 6 | 152914,89 | 415679,62 | 9,1 | 9,1 |
| 7 | 7 | 152122,99 | 416112,17 | 9,0 | 8,9 |
| 8 | 8 | 152145,67 | 416116,18 | 9,0 | 8,9 |
| 9 | 9 | 152861,42 | 417155,20 | 8,9 | 8,9 |
| 10 | 10 | 152844,85 | 417151,21 | 8,9 | 8,9 |
| 11 | 11 | 152894,39 | 417307,81 | 8,9 | 8,9 |
| 12 | 12 | 152908,26 | 417289,45 | 8,9 | 8,9 |
| 13 | 13 | 152364,00 | 416935,82 | 9,0 | 8,9 |
| 14 | 14 | 152378,02 | 416915,60 | 8,9 | 8,9 |
| 15 | 15 | 152072,23 | 416670,33 | 8,9 | 8,9 |
| 16 | 16 | 152094,92 | 416674,99 | 9,0 | 8,9 |
| 17 | 17 | 152496,96 | 416542,43 | 8,9 | 8,9 |
| 18 | 18 | 152476,13 | 416535,27 | 8,9 | 8,9 |
| 19 | 19 | 152396,25 | 416379,05 | 8,9 | 8,9 |
| 20 | 20 | 152407,29 | 416349,60 | 8,9 | 8,9 |
| 21 | 21 | 152562,97 | 416414,96 | 8,9 | 8,9 |
| 22 | 22 | 152567,98 | 416392,64 | 8,9 | 8,9 |
| 23 | 23 | 152381,72 | 415776,49 | 9,1 | 9,1 |
| 24 | 24 | 152382,59 | 415737,39 | 9,1 | 9,1 |
| 25 | 25 | 152726,60 | 415982,16 | 9,1 | 9,1 |
| 26 | 26 | 152765,90 | 416000,17 | 8,9 | 8,9 |
| 27 | 27 | 152964,73 | 415900,36 | 9,1 | 9,1 |
| 28 | 28 | 152994,33 | 415880,53 | 9,1 | 9,1 |
| 29 | 29 | 153187,01 | 416155,79 | 9,2 | 9,2 |
| 30 | 30 | 153169,20 | 416112,11 | 9,2 | 9,2 |
| 31 | 31 | 153512,82 | 416113,18 | 9,2 | 9,2 |
| 32 | 32 | 153495,96 | 416097,45 | 9,2 | 9,2 |
| 33 | 33 | 153848,69 | 416361,93 | 9,2 | 9,2 |
| 34 | 34 | 153863,13 | 416374,21 | 9,2 | 9,2 |
| 35 | 35 | 153795,86 | 415922,74 | 9,1 | 9,0 |
| 36 | 36 | 153782,63 | 415951,19 | 9,1 | 9,0 |
| 37 | 37 | 152387,23 | 416766,69 | 8,9 | 8,9 |
| 38 | 38 | 152368,05 | 416753,92 | 8,9 | 8,9 |
| 39 | 39 | 152992,98 | 415501,44 | 9,1 | 9,1 |
| 40 | 40 | 152971,86 | 415492,24 | 9,1 | 9,1 |
| 41 | 41 | 152840,97 | 416381,00 | 9,0 | 8,9 |
| 42 | 42 | 152851,74 | 416355,88 | 9,0 | 8,9 |
| 43 | 43 | 153155,17 | 416843,43 | 9,2 | 9,2 |
| 44 | 44 | 153165,57 | 416827,36 | 9,2 | 9,2 |
| | | 152441,10 | 416664,81 | 8,9 | 8,9 |

Rapport: Resultatentabel
Model: Variant 1
Resultaten voor model: Variant 1
Stof: PM2.5 - Zeer fijnstof
Referentiejaar: 2030

| Naam | PM2.5 Bronbijdrage [$\mu\text{g}/\text{m}^3$] |
|------|---|
| 1 | 0,0 |
| 2 | 0,0 |
| 3 | 0,0 |
| 4 | 0,0 |
| 5 | 0,0 |
| 6 | 0,0 |
| 7 | 0,0 |
| 8 | 0,0 |
| 9 | 0,0 |
| 10 | 0,0 |
| 11 | 0,0 |
| 12 | 0,0 |
| 13 | 0,0 |
| 14 | 0,0 |
| 15 | 0,0 |
| 16 | 0,0 |
| 17 | 0,0 |
| 18 | 0,0 |
| 19 | 0,0 |
| 20 | 0,0 |
| 21 | 0,0 |
| 22 | 0,0 |
| 23 | 0,0 |
| 24 | 0,0 |
| 25 | 0,0 |
| 26 | 0,0 |
| 27 | 0,0 |
| 28 | 0,0 |
| 29 | 0,0 |
| 30 | 0,0 |
| 31 | 0,0 |
| 32 | 0,0 |
| 33 | 0,0 |
| 34 | 0,0 |
| 35 | 0,0 |
| 36 | 0,0 |
| 37 | 0,0 |
| 38 | 0,0 |
| 39 | 0,0 |
| 40 | 0,0 |
| 41 | 0,0 |
| 42 | 0,0 |
| 43 | 0,0 |
| 44 | 0,0 |

Over Antea Group

Van stad tot land, van water tot lucht; de adviseurs en ingenieurs van Antea Group dragen in Nederland sinds jaar en dag bij aan onze leefomgeving. We ontwerpen bruggen en wegen, realiseren woonwijken en waterwerken. Maar we zijn ook betrokken bij thema's zoals milieu, veiligheid, assetmanagement en energie. Onder de naam Oranjewoud groeiden we uit tot een allround en onafhankelijk partner voor bedrijfsleven en overheden. Als Antea Group zetten we deze expertise ook mondiaal in. Door hoogwaardige kennis te combineren met een pragmatische aanpak maken we oplossingen haalbaar én uitvoerbaar. Doelgericht, met oog voor duurzaamheid. Op deze manier anticiperen we op de vragen van vandaag en de oplossingen van de toekomst. Al meer dan 60 jaar.

Contactgegevens

Beneluxweg 125
4904 SJ OOSTERHOUT
Postbus 40
4900 AA OOSTERHOUT
T. 0646042184
E. Joanne.hullegie@anteagroup.com

www.anteagroup.nl

Copyright © 2018

Niets uit deze uitgave mag worden verveelvoudigd en/of openbaar worden gemaakt door middel van druk, fotokopie, elektronisch of op welke wijze dan ook, zonder schriftelijke toestemming van de auteurs.